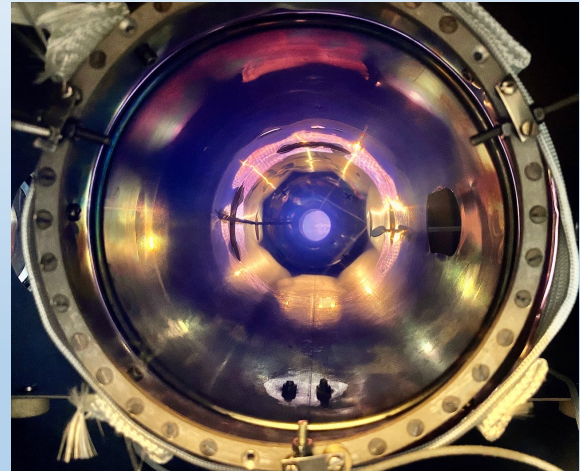
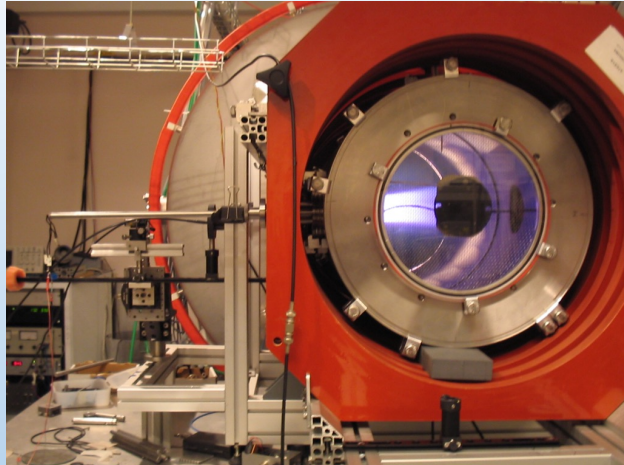


L'expérience Mistral

A. Escarguel

Aix-Marseille Université, CNRS, PIIM UMR7345, Marseille, France

XPM



Les décharges multipolaires

Magnetic Multipole Containment of Large Uniform Collisionless Quiescent Plasmas

Rudolf Limpaecher[†] and K. R. MacKenzie

Department of Physics, University of California, Los Angeles, California 90024

(Received 18 December 1972)

Over 1200 Alnico magnets ($1.3 \times 1.3 \times 4$ cm) are used to contain a conventional discharge plasma produced by 1–20 A of emission from 6–48 small filaments at -60 V. Densities up to 10^{12} ions/cm³ are produced in argon at 2×10^{-3} Torr. At 5×10^{-6} Torr typical parameters are: 8×10^{10} ions/cm³; $n_i/n_0 \approx 0.7$; $T_e \approx 5$ eV; $T_i \approx 0.5$ eV; noise $\langle \delta n / n \rangle \approx 2 \times 10^{-4}$; and $< 1\%$ nonuniformity over a volume 31 cm diam by 69 cm. Uniform dense plasmas of He, D, and H are also produced. The ion containment appears to be both magnetic and electrostatic.

- Murs « magnétiques » avec des aimants permanents disposés autour d'une enceinte afin d'obtenir un grand volume de plasma **basse pression** ($< 10^{-3}$ mBar), **non magnétisé** et **calme** pour des études fondamentales.

→ 2 décharges de volumes 1 l et 86 l (38cm x 76 cm)

→ *Mistral : utilisation d'une source multipolaire pour créer une colonne de plasma magnétisée.*

Les décharges multipolaires

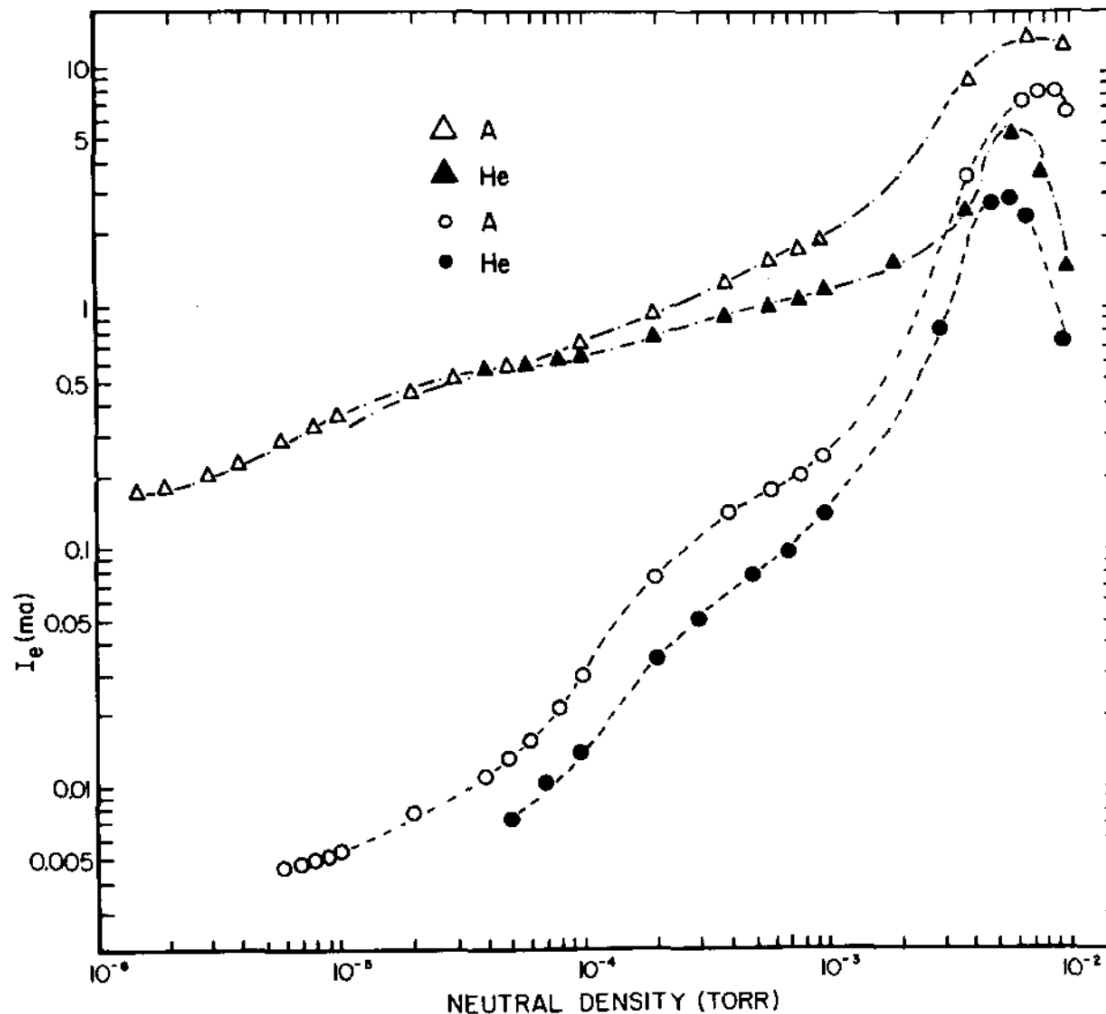
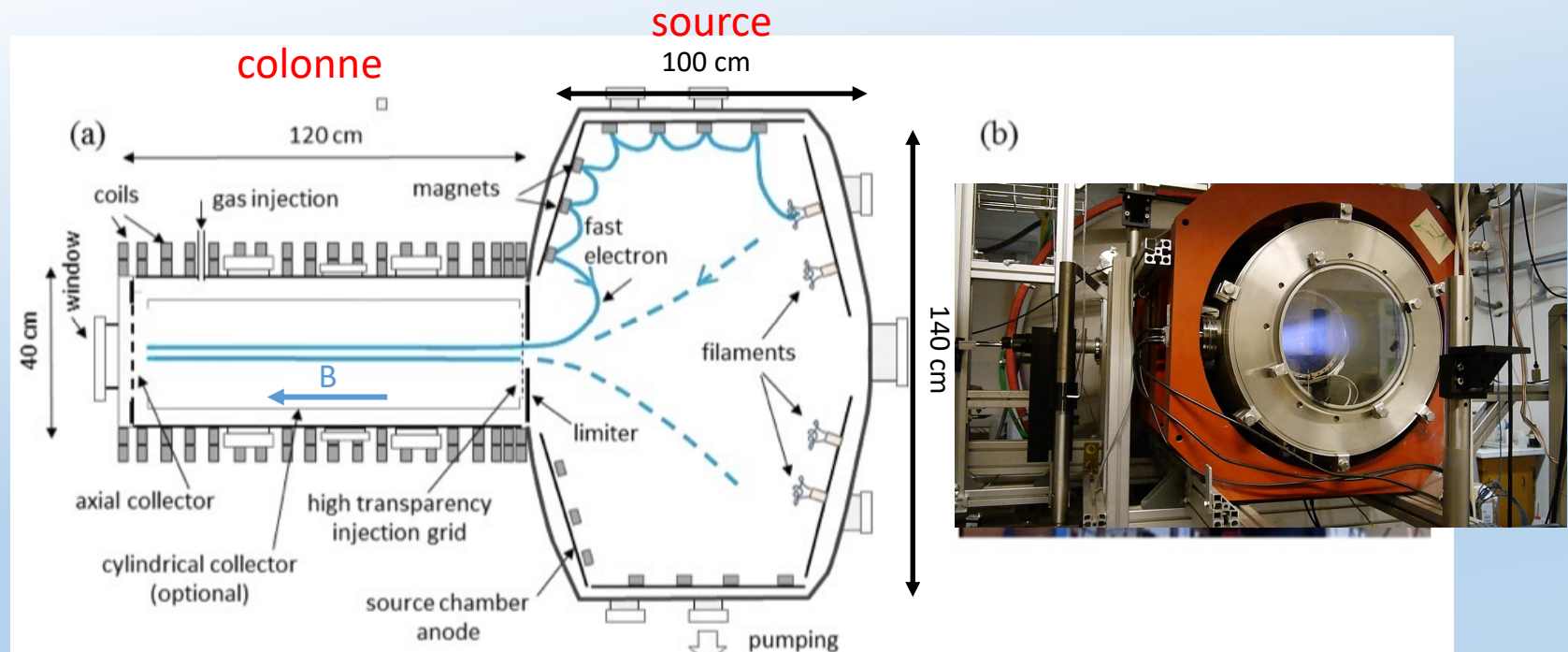


FIG. 2. Plasma density vs pressure for argon and helium in the chambers with magnetic walls (triangles) and nonmagnetic walls (circles).

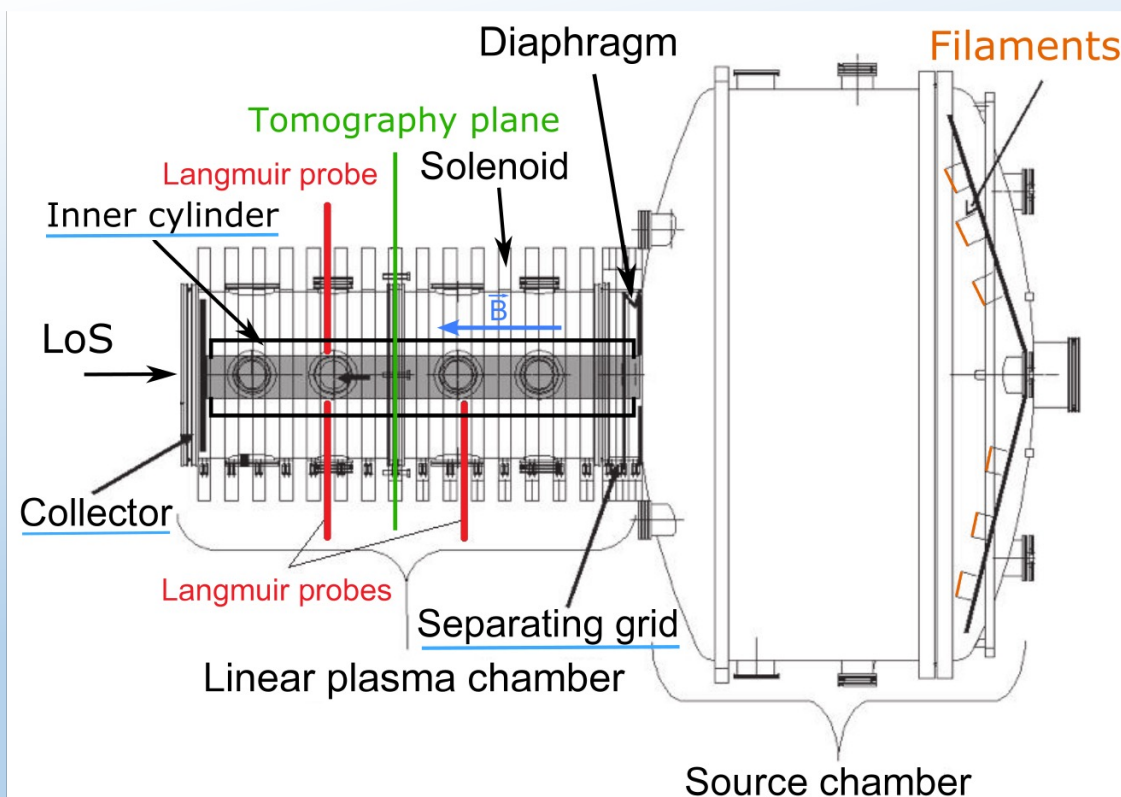
L'expérience MISTRAL

- Crée en 2000 par Th. Pierre et G. Leclert déclinaison de la machine **MIRABELLE** (G. Leclert, IJL, Nancy).
- **But** : étude des instabilités d'une colonne de plasma magnétisée.
- 2 parties :
 - **Source** = décharge multipolaire de grand volume → faisceau d'électrons primaires ionisants.
 - **Colonne** = zone d'étude d'une colonne de plasma magnétisée.



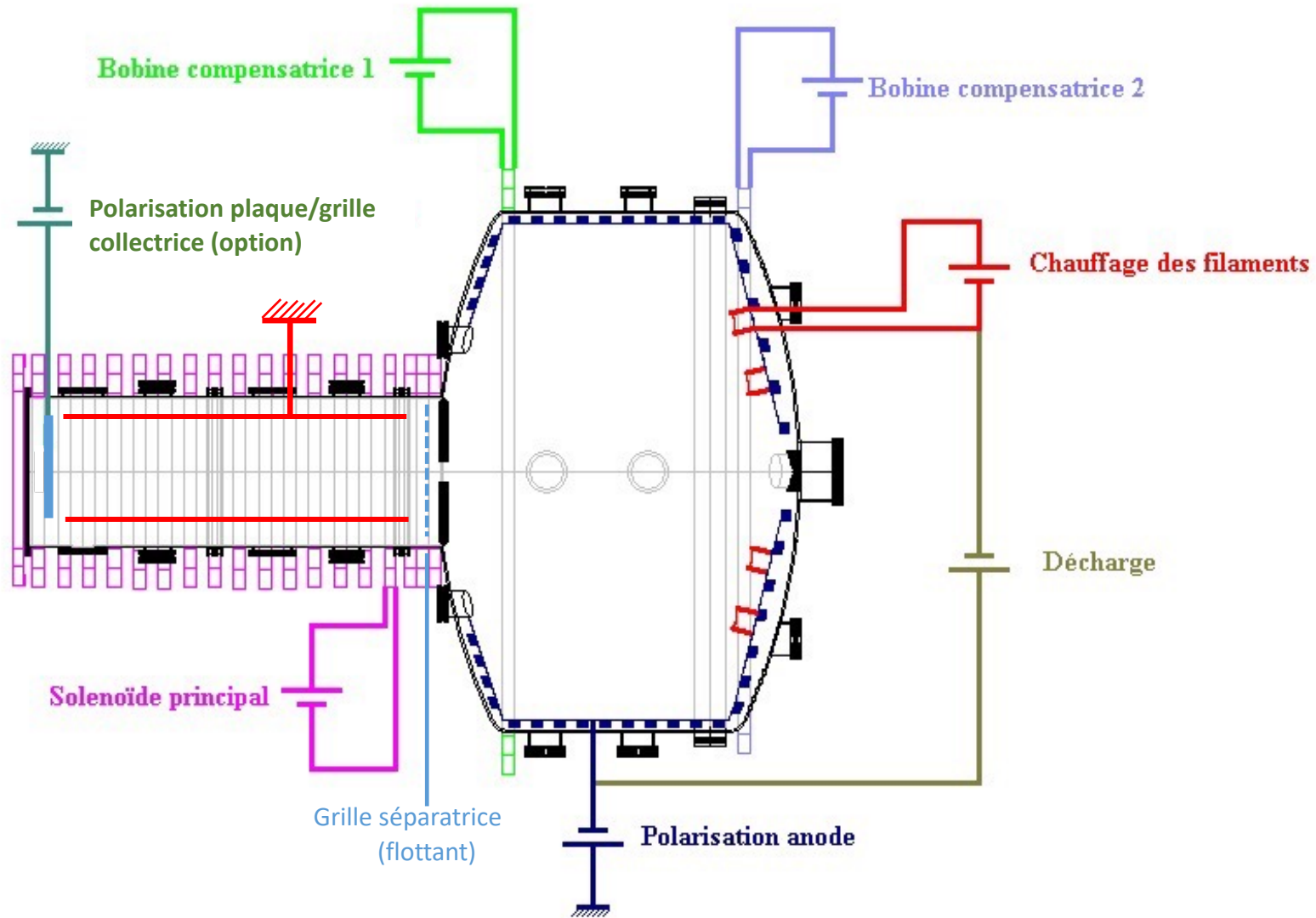
L'expérience MISTRAL

- $r_{\text{limiter}} = r_{\text{plasma}} = 40 \text{ mm}$
- $P_{\text{vide}} = 1E^{-6} \text{ mBar.}$
- $5.10^{-5} \text{ mbar} < P < 10^{-2} \text{ mbar}$
- $B_{\text{solenoid}} < 30 \text{ mT}$
- Gaz : He, Ne, Ar, Kr, Xe
- $1 \text{ eV} < T_e < 5 \text{ eV}$
- $10^{14} \text{ m}^{-3} < N_e < 10^{17} \text{ m}^{-3}$
- $T_{\text{Ar neutral}} = 300 \text{ K}$
- $T_{\text{Ar ion}} = 1100 \text{ K}$
- $N_{\text{ep}}/N_e = 3 \%$
- $v_{ci} = 1 \text{ kHz } (1.5E-4 \text{ mBar Ar ; 160 G})$
- ions faiblement magnétisés

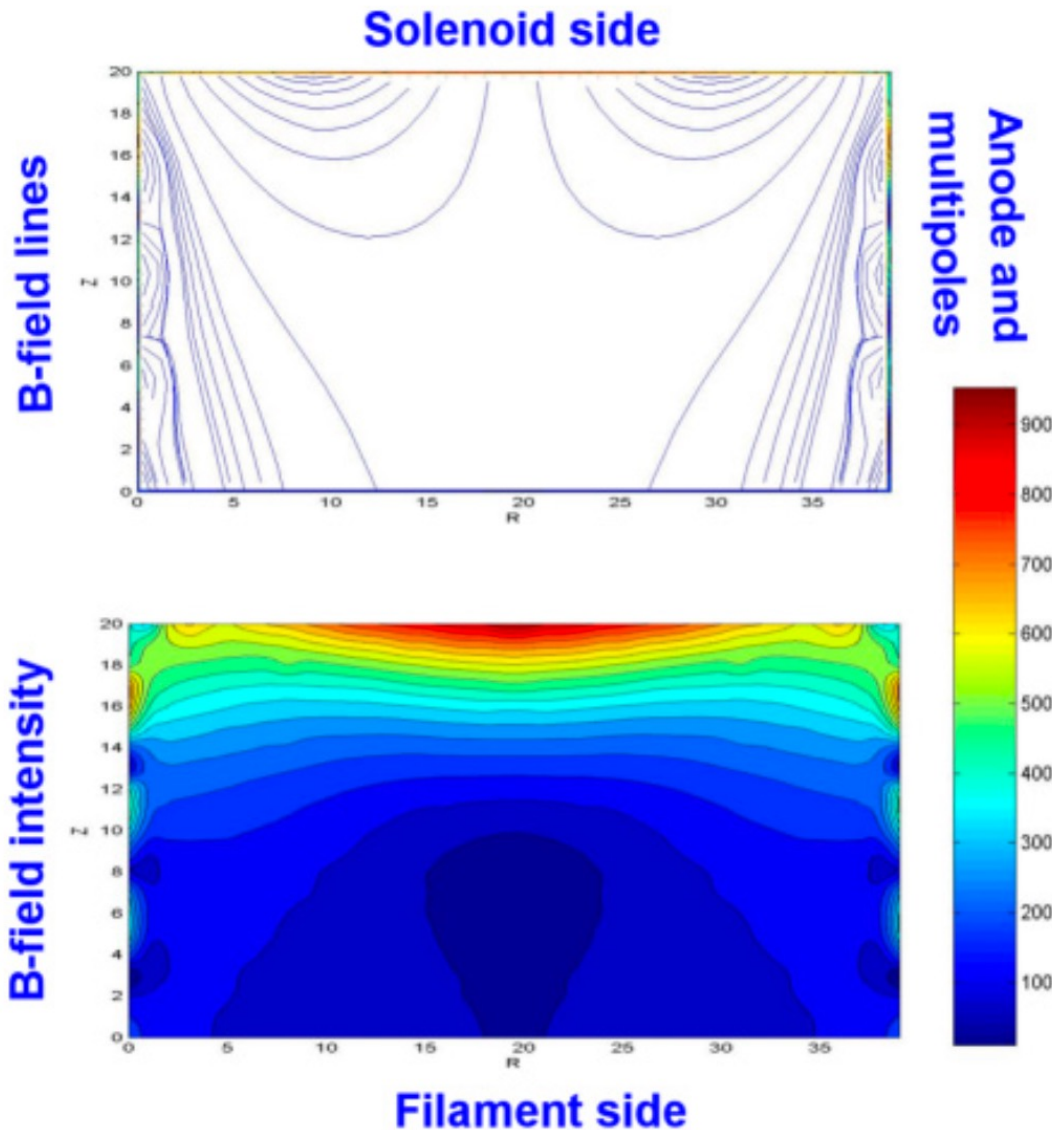


Chambre source de Mistral

Chambre source de Mistral



Configuration magnétique de la source



- **Bobine compensatrice 1** (côté solénoïde) : montée en opposition / $B_{\text{solénoid}}$ dans la source.
 - Limiter $B_{\text{solénoid}}$ dans la source.
 - $I_{\text{typique}} : 110 \text{ A}$ (pour $I_{\text{Sol}} = 160 \text{ A}$)
- **Bobine compensatrice 2** (côté filaments)
 - création d'un « cusp » pour isotropisation des é.p.
 - $I_{\text{typique}} : 40 \text{ A}$ (pour $I_{\text{Sol}} = 160 \text{ A}$)



Rôle des électrons primaires dans Mistral

Distribution radiale de n_e , T_e et rôle des é.p.

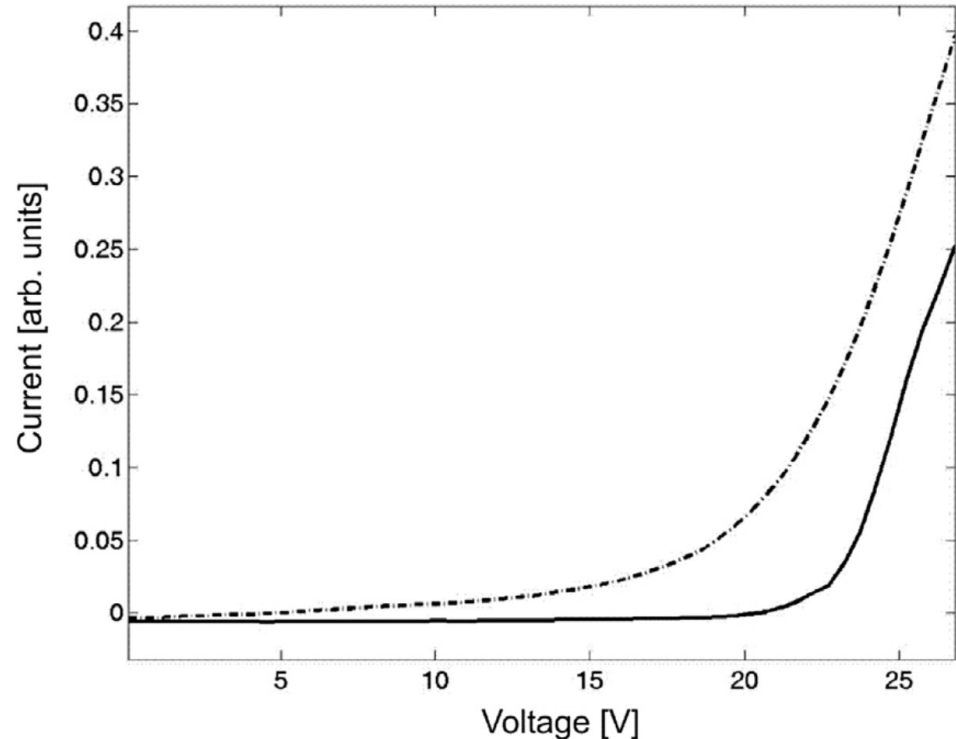
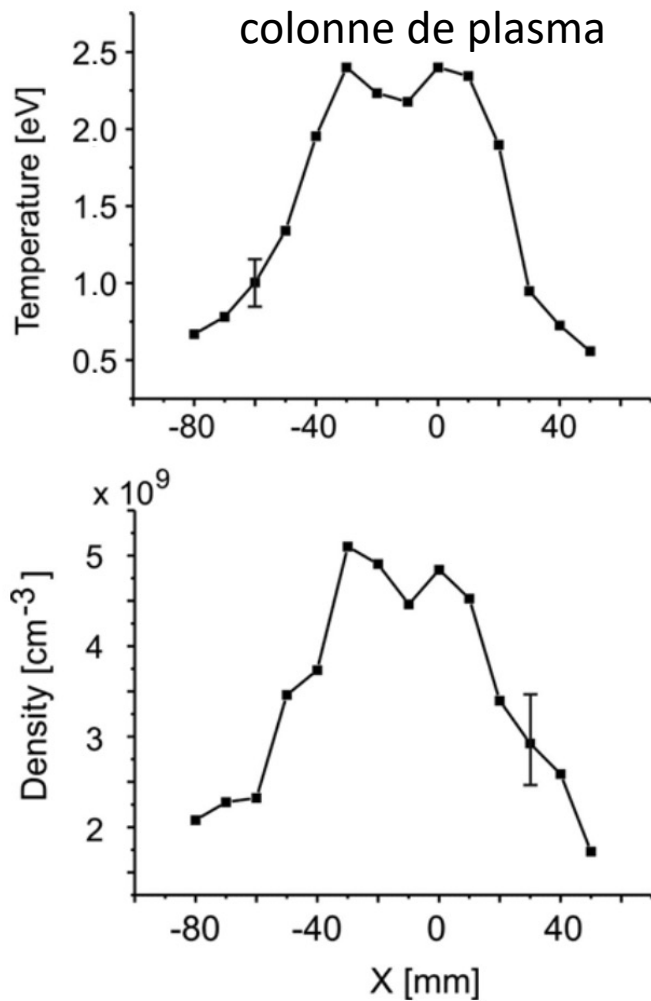
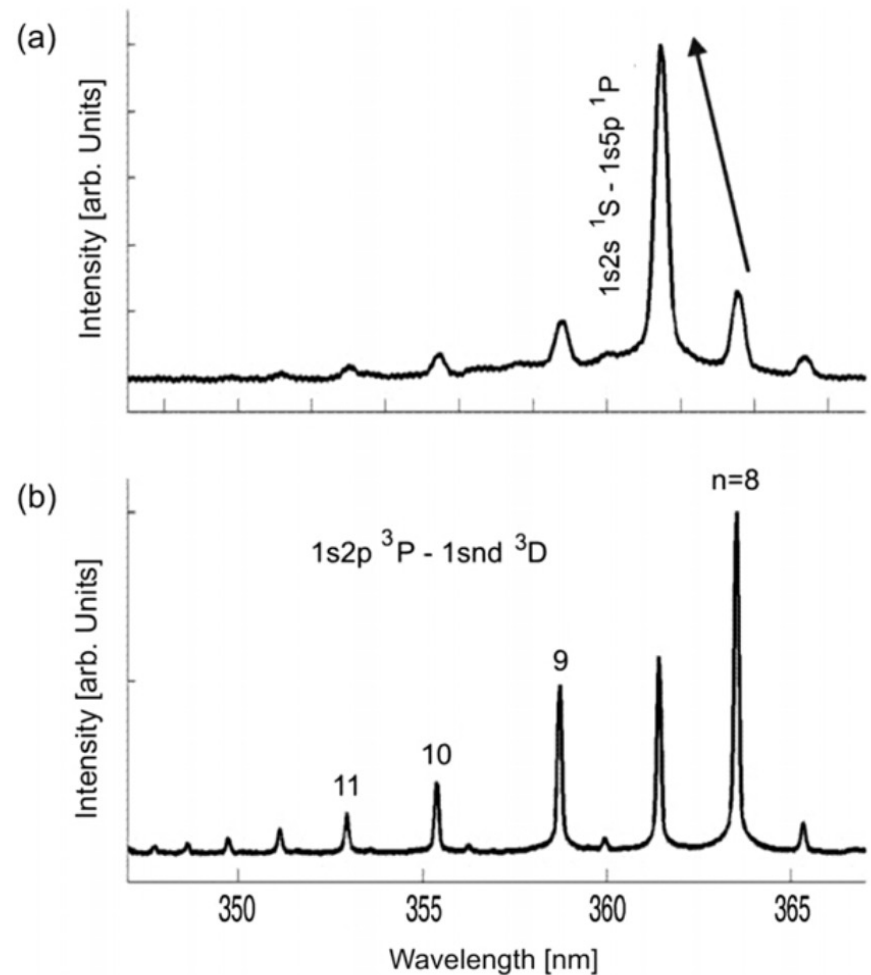
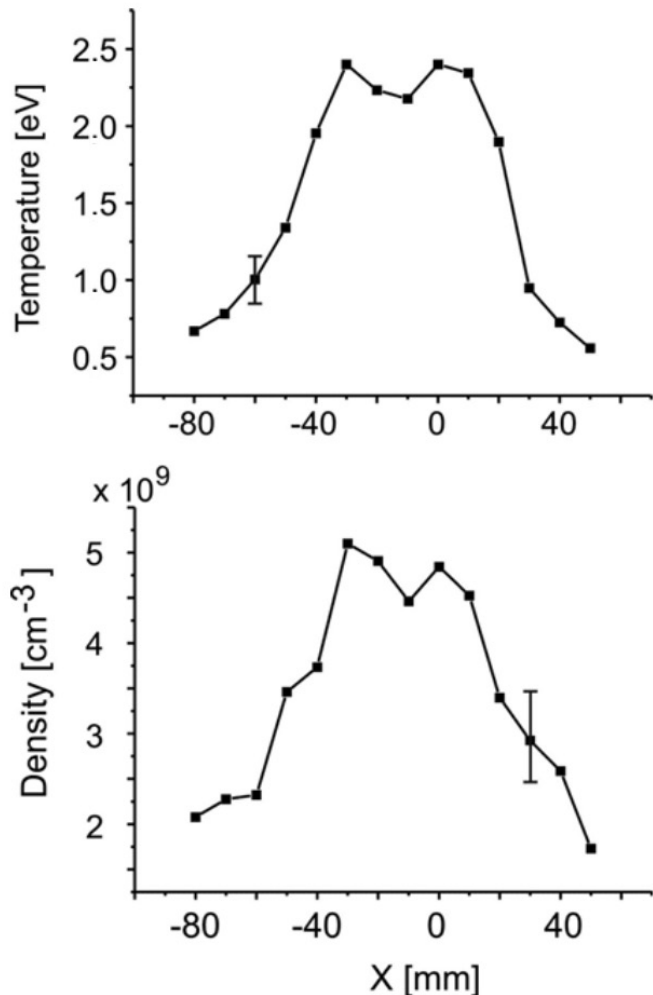


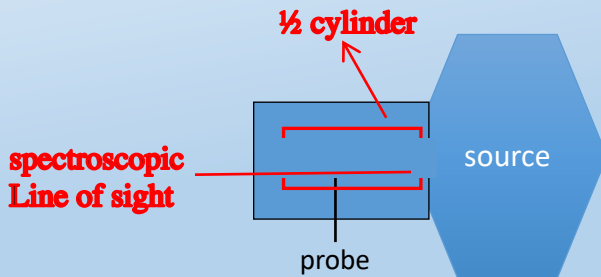
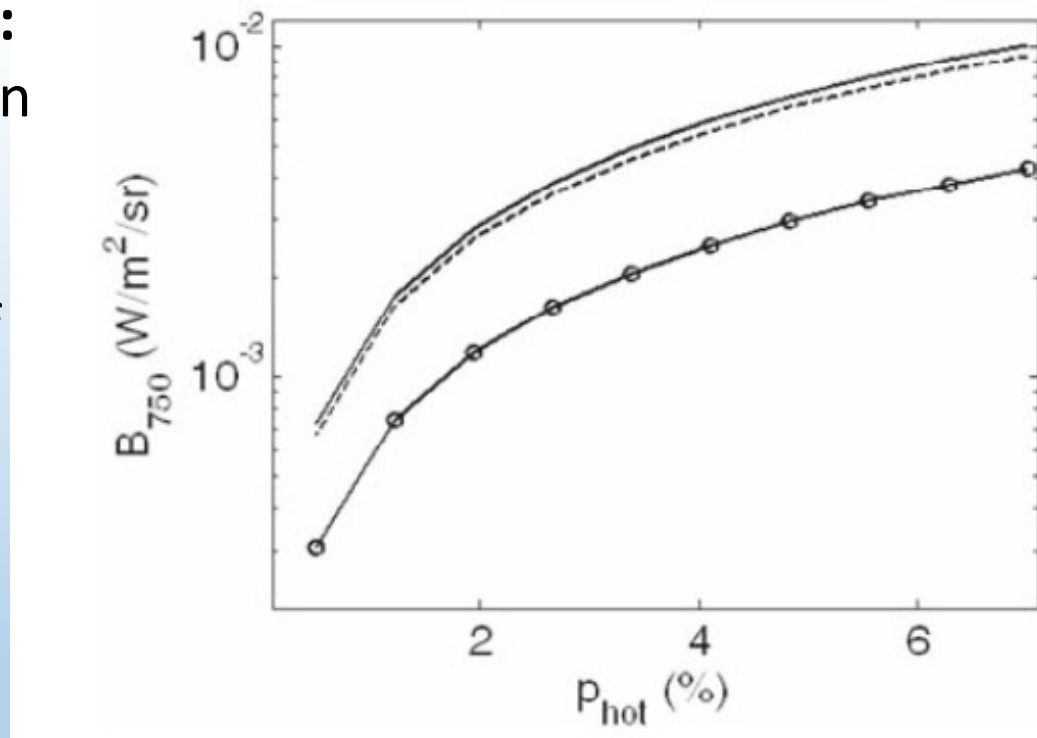
Figure 2. Langmuir probe characteristics with primary electrons (first experimental configuration: dashed-dotted line) and without primary electrons (second experimental configuration: solid line): The slope of the left part of the dashed-dotted curve (ionic saturation region) is increased, indicating a hot electron fraction.

Distribution radiale de n_e , T_e et rôle des é.p.



Role of primary electrons (p.e.) in the plasma column dynamics

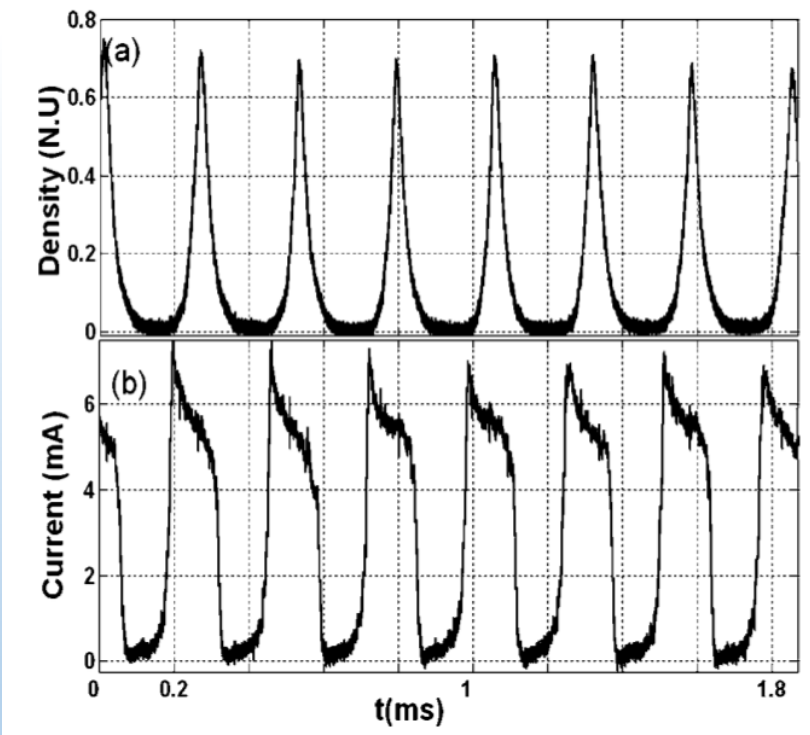
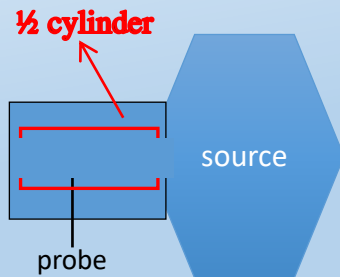
- p_{hot} = percentage of p. e.
- **Visible emission spectroscopy:**
Corona equilibrium for calculation of ArI(750 nm) brightness
→ Shows the presence of a few percents of p.e. in the shadow of the limiteur.



Instabilités non linéaires en rotation autour d'une colonne de plasma

m=1, 2 regular modes rotating around plasma column

- Langmuir probe in the diaphragm shadow ($V_{\text{probe}} > V_{\text{plasma}}$) : n_e .
 - 2 half-cylinders around the column : radial current I.
- Observation of rotating structures ($\nu = \text{a few kHz}$
- sonification for live control)



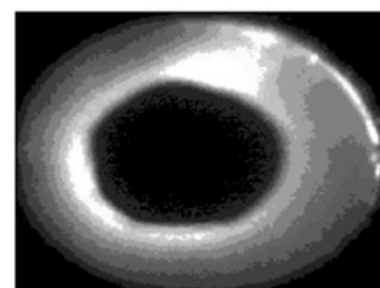
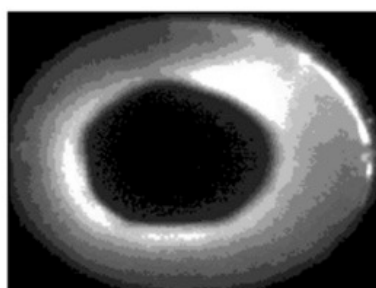
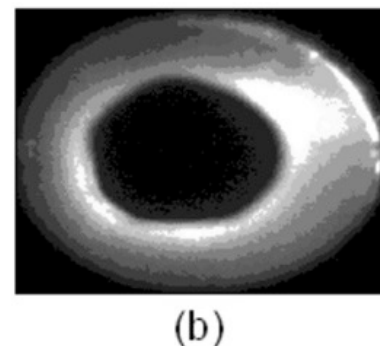
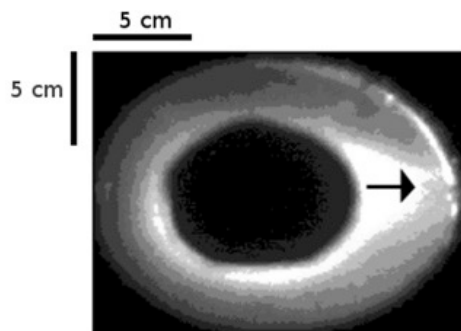
[Jaeger POP 2009]

Fast camera results (end view of the plasma)

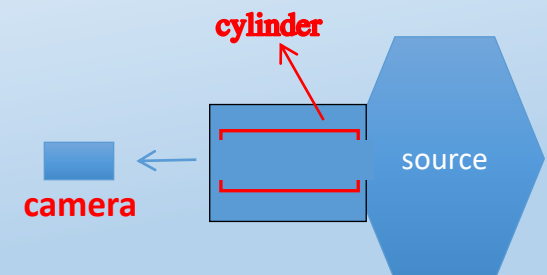
$m=1, 2$ regular modes rotating around central plasma column

$V_{anode} > o$: plasma « calme »

$V_{anode} < o$: plasma instable \rightarrow modes réguliers en rotation (ques. kHz)

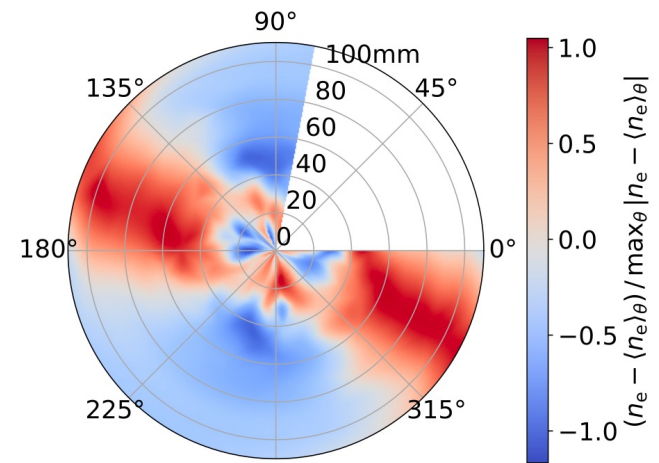
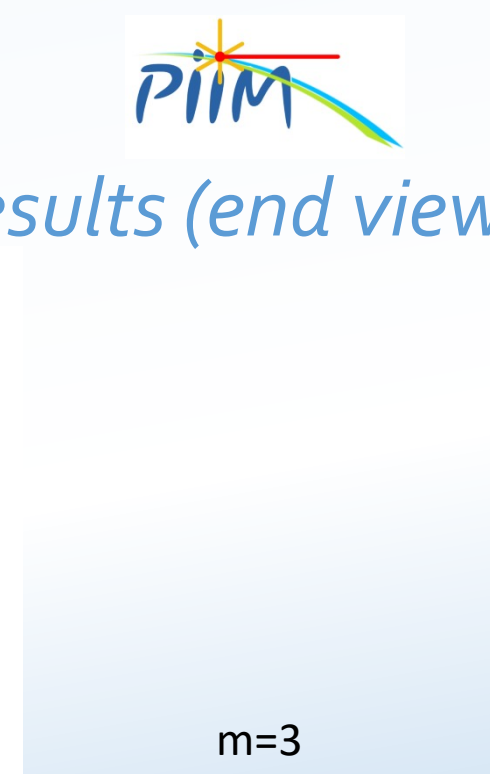
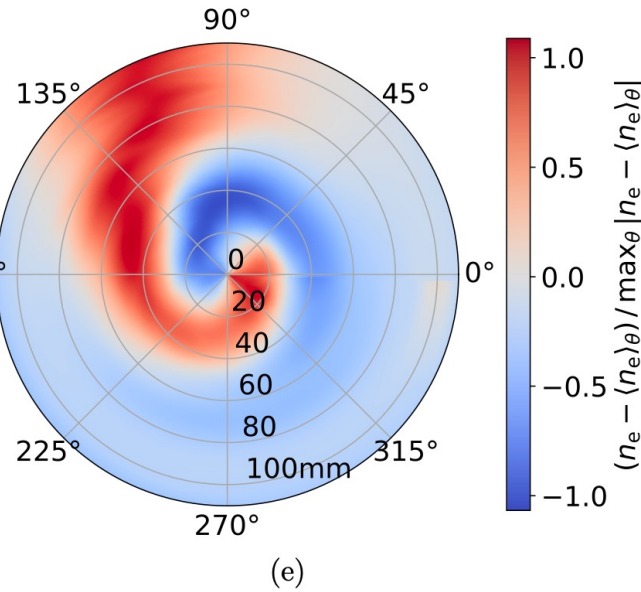


$\Delta t = 5 \mu\text{s}$

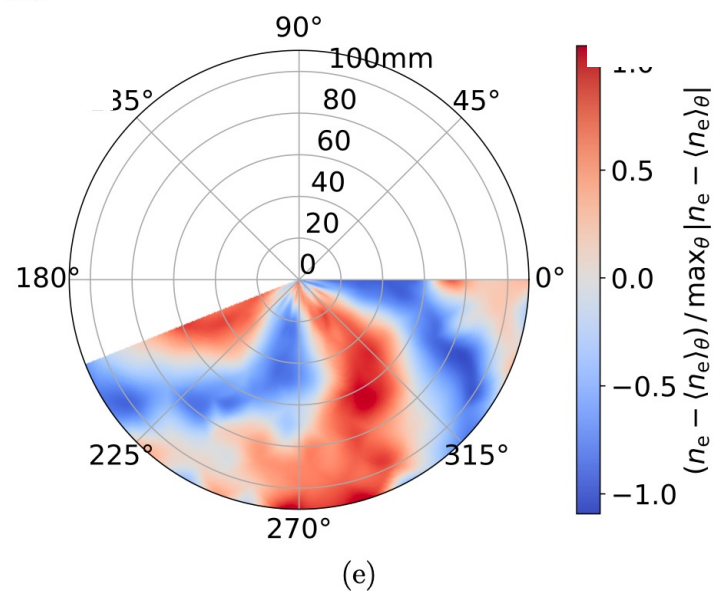
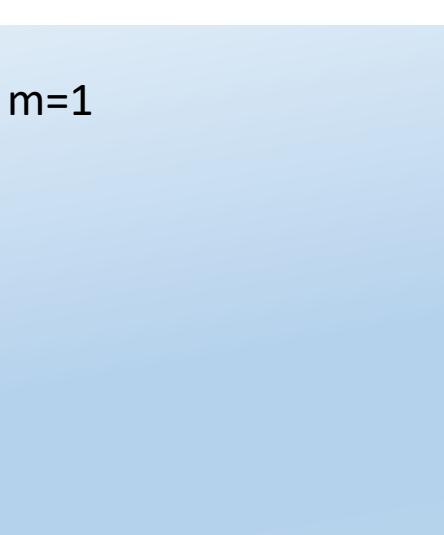


[Escarguel EPJD 2010]

Fast camera results (end view of the plasma)



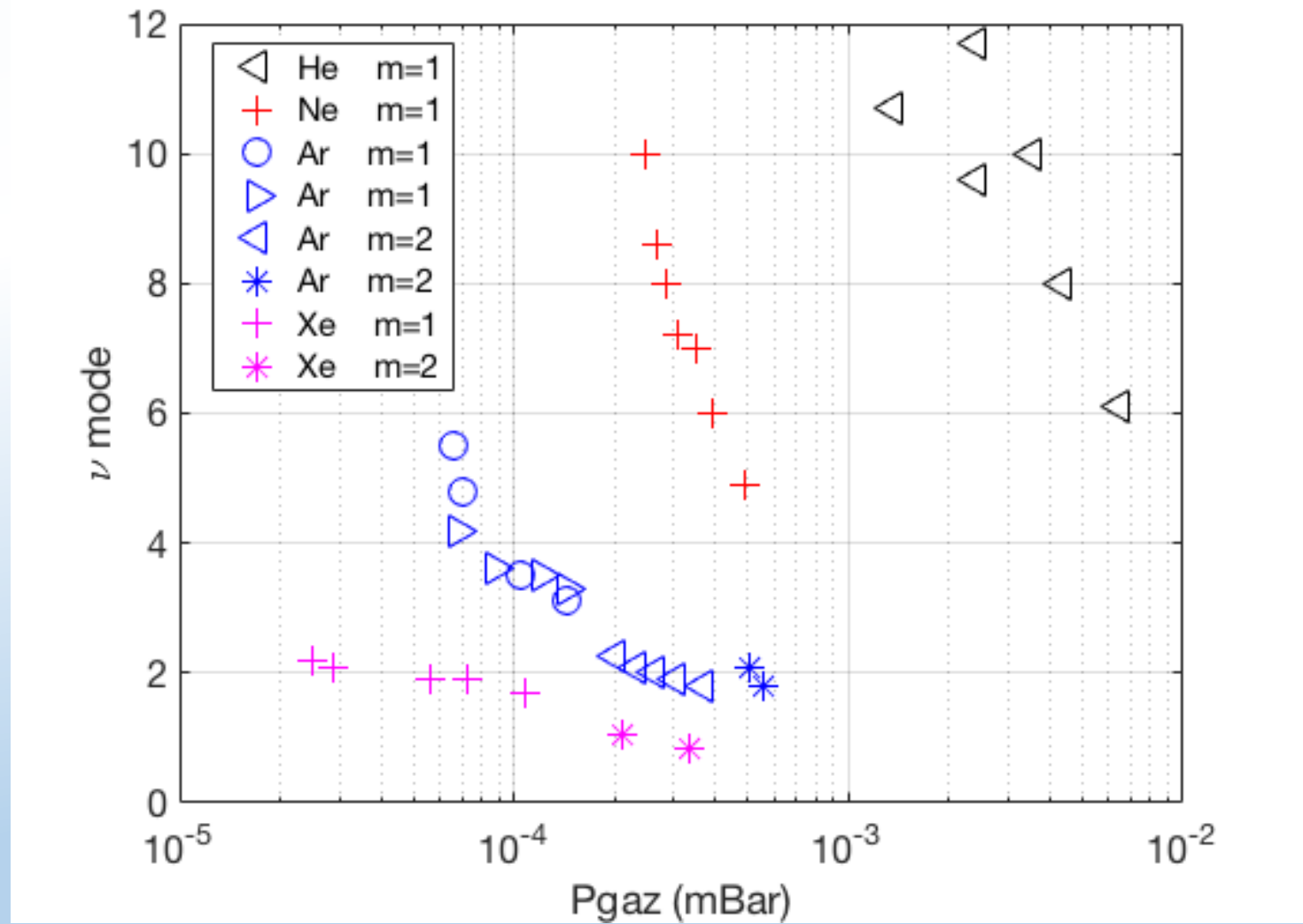
(a)



(e)

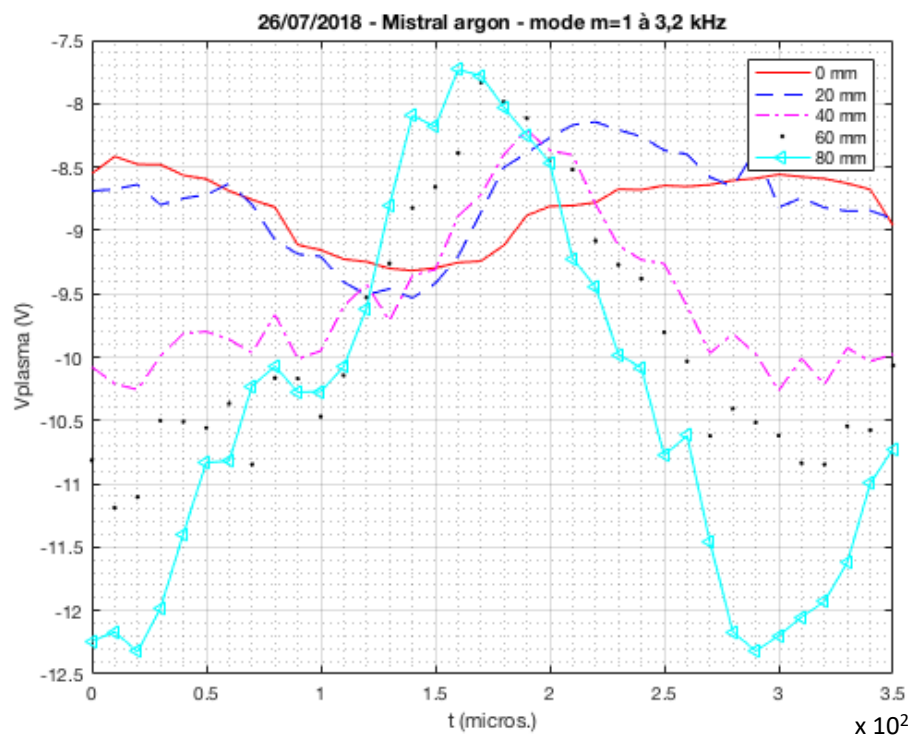
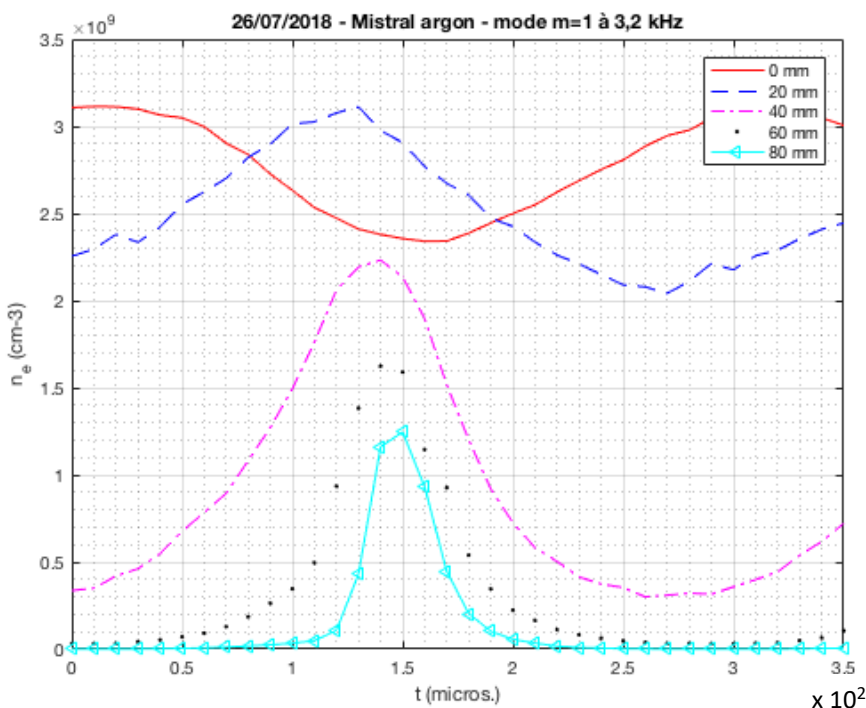
 $m=2$

Spoke rotation frequency = $f(P)$



Spatial/time resolved study of a $m=1$ spoke in argon

- Synchronized Langmuir probe
- $r_{\text{plasma}} = 36 \text{ mm} \rightarrow$ the 2 first curves are inside the plasma column (red/blue)
- the 3 other curves are in the shadow of the limiteur (magenta/black/cyan)
 - \approx Rigid body rotation
 - Phase shift (V_{plasma} / n_e) $\approx \pi/2$ in the shadow of the limiteur



$m=2$ spoke: ArII Laser Induced Fluorescence measurements

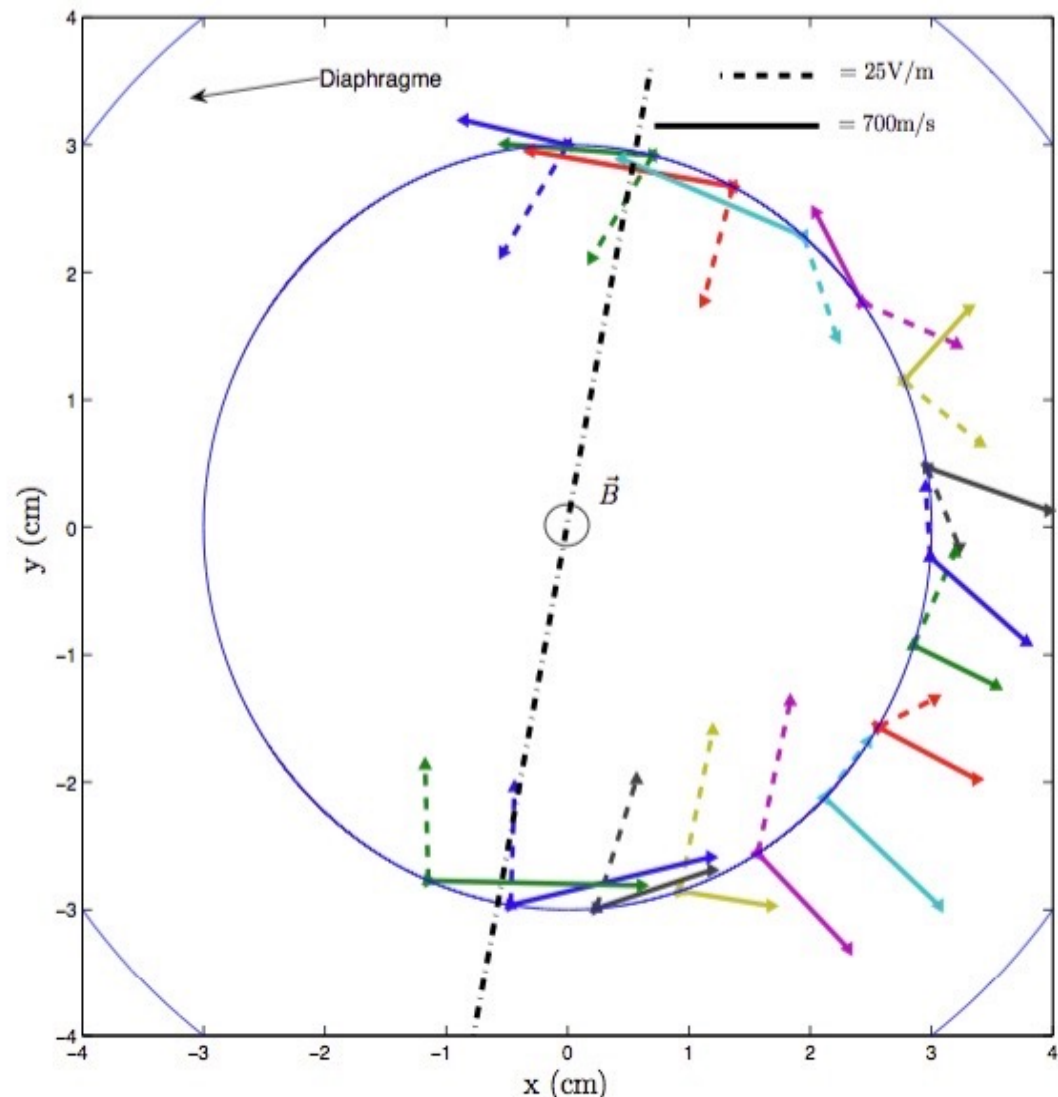
- No surrounding cylinder
- Diaphragm $r=5\text{cm}$
- $v_{\text{spoke}}=7.5\text{kHz}$
- Separating grid = 4V
- Collecting grid = 20V
- $P_{\text{Ar}}=2.5 \cdot 10^{-4}\text{mbar}$
- $B=160\text{G}$

ArII velocity:

- inside the spoke: azimuthal inward \neq from v_{spoke}
- outside the spoke: radial
- N_e and v_θ in phase

Electric field:

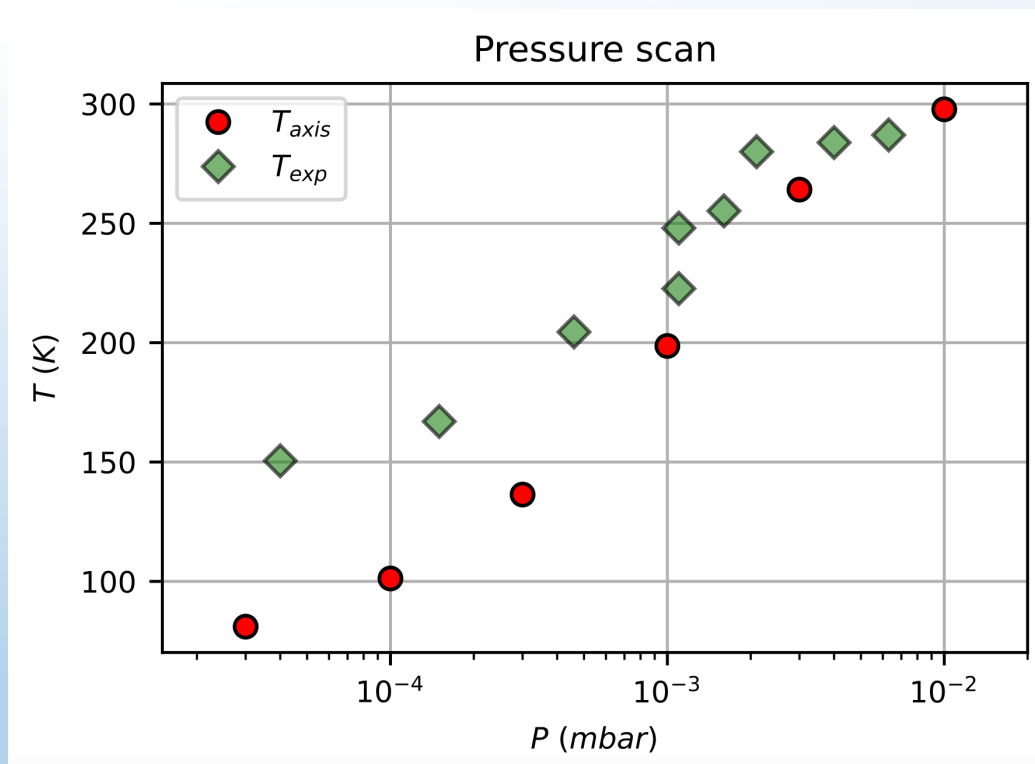
- inside the spoke: radial
- outside the spoke: azimuthal



Non localité de la fluorescence induite par laser

Mesures de Fluorescence Induite par Laser dans un plasma basse pression : attention aux effets non-locaux !

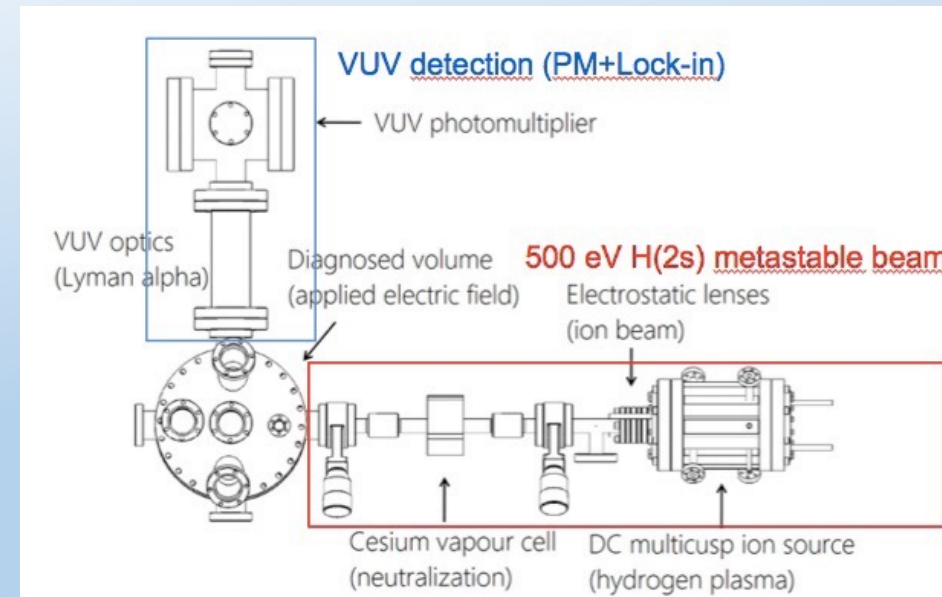
- « High pressure » acquisition : $T_{\text{ArI}} = \text{ambient T}$
- T_{ArI} decreases when P decreases: non-local effect of metastable destruction on the walls



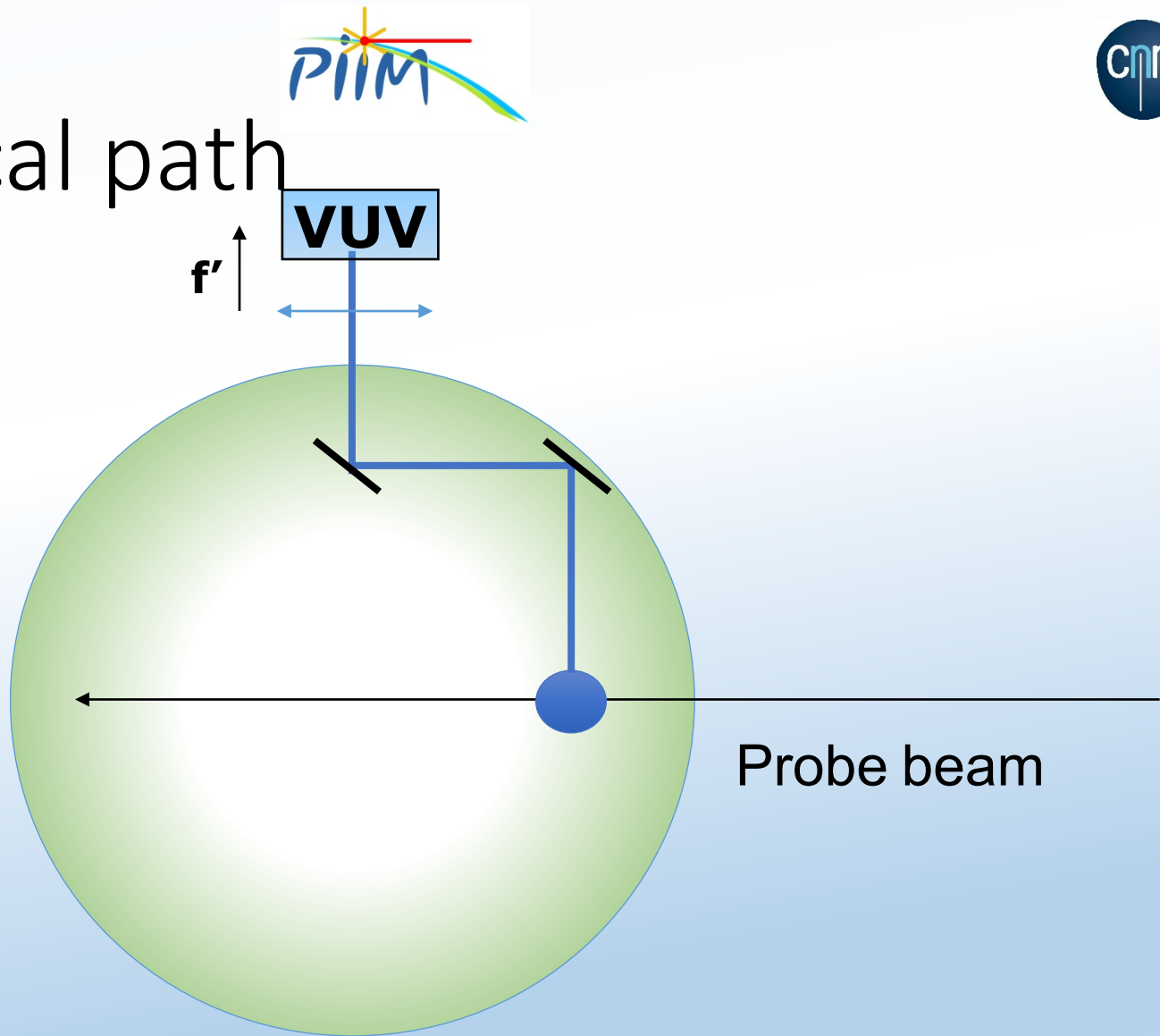
Mistral as a reference experiment for diagnostics development

Development of a diagnostic to measure directly The local electric field : EFILE

- Local electric field → Emission Lyman- α of a probe H (2s) beam
- Measurement of static and/or fluctuating electric fields (vacuum or cold plasma, density 10^{11} cm $^{-3}$, sheaths) → OK
- Absolute calibration / damping of metastables by MSE



4. Optical path



Mirror diameter: 1".

Photomultiplier sensor surface: 8 x 12 mm

Visible tomography

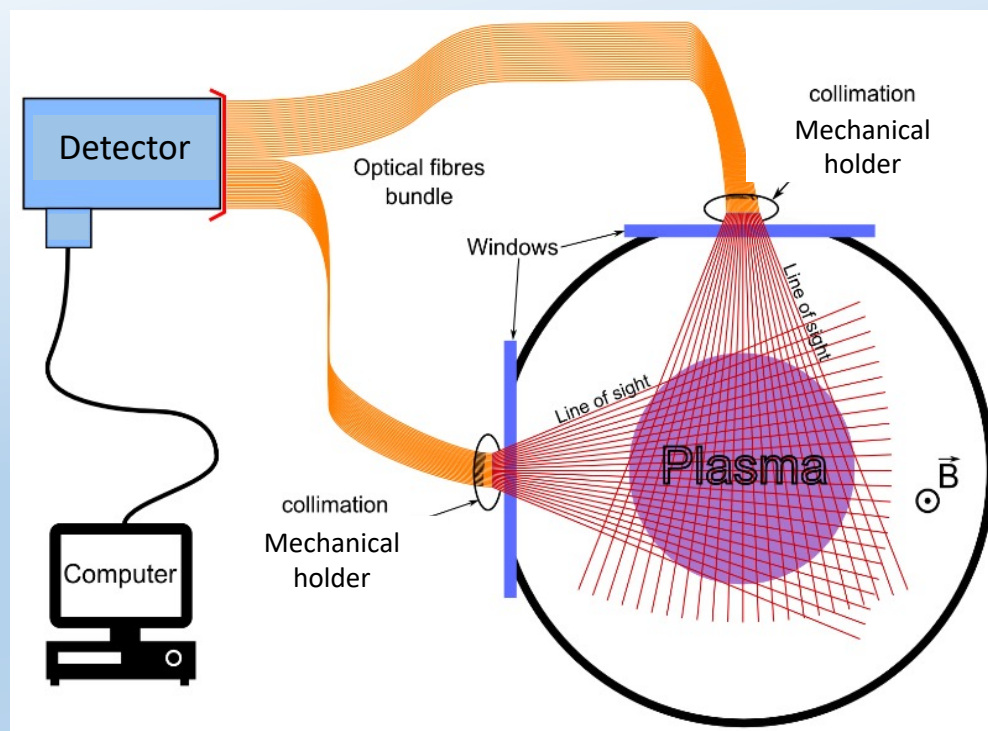
→ Advantages :

- 2D spatial structure of regular modes without any hypothesis
- non intrusive

→ « Turbulent » modes study

→ Possible « one shot »
acquisition

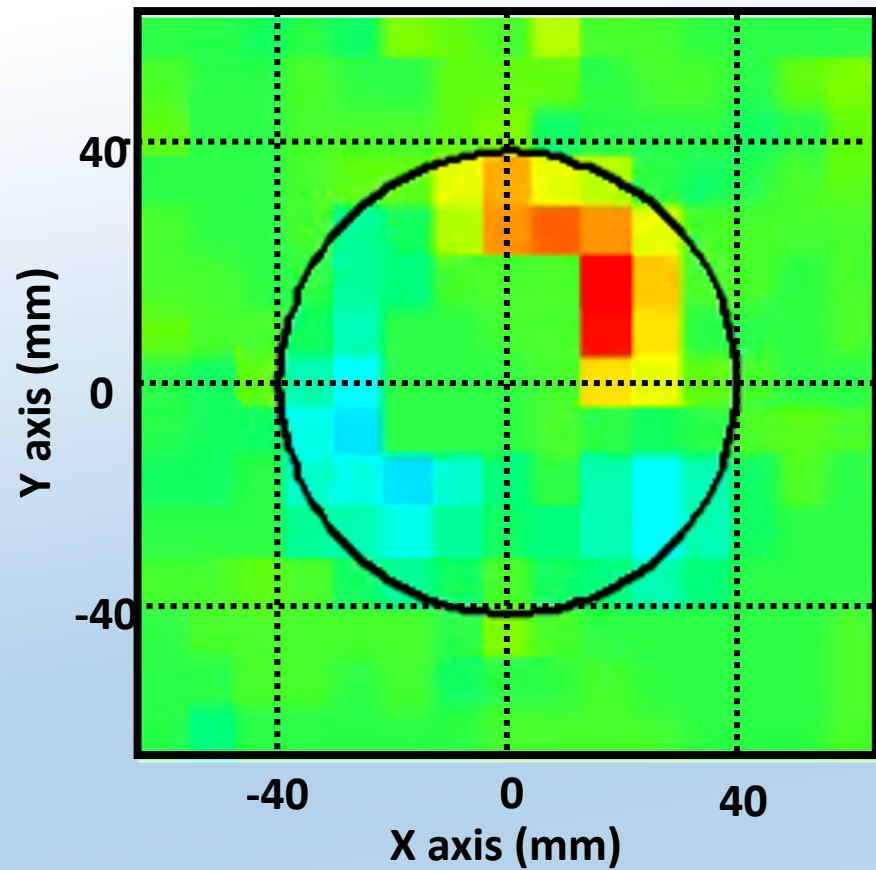
→ 2x64 channels, $v_{\text{acq}} = 1 \text{ MHz}$



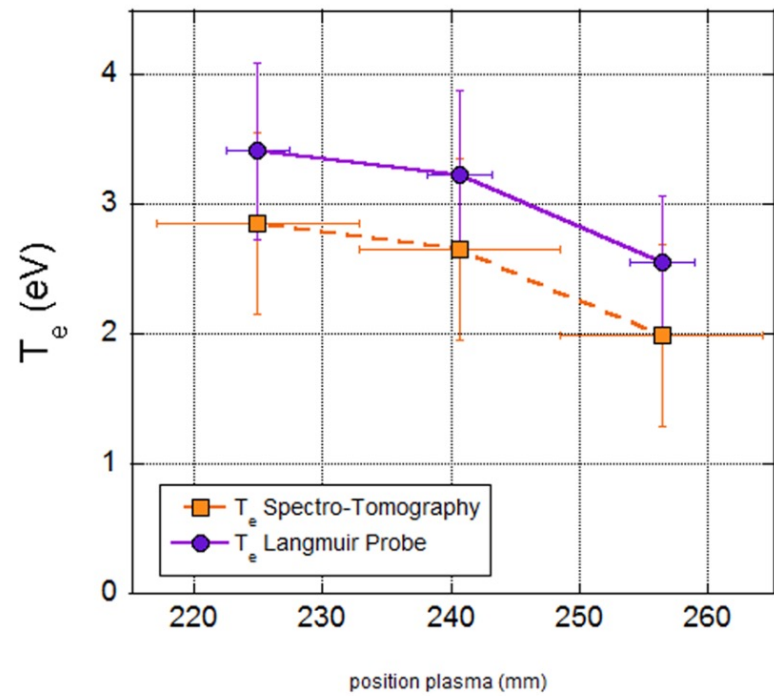
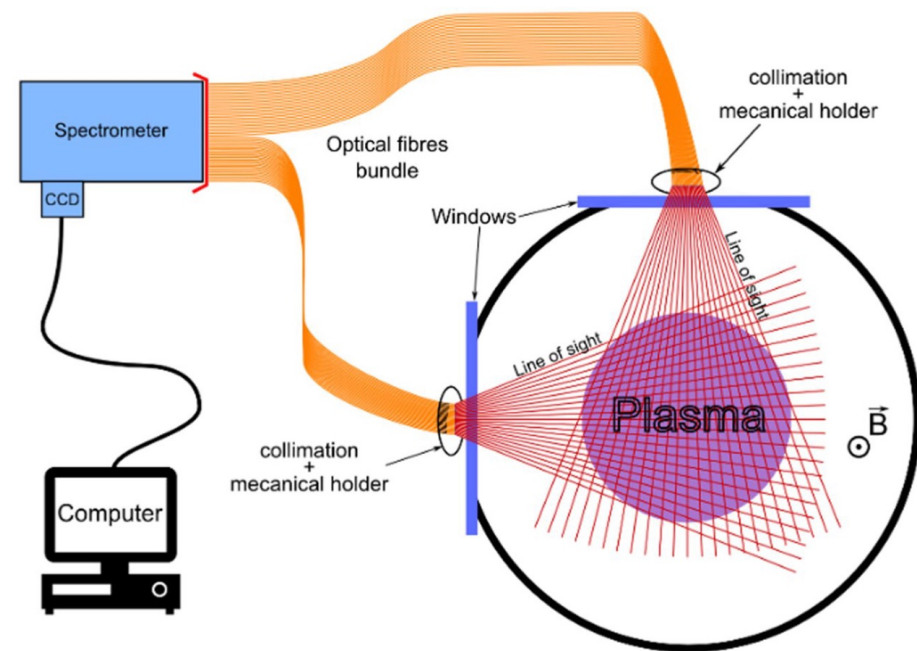
Optical tomography: $m=1$ rotation

- Spatial structures of regular modes
- Weak perturbation by probe
- Radial profile more peaked: primary electrons
- V_p and n_e : $\pi/2$ phase delay

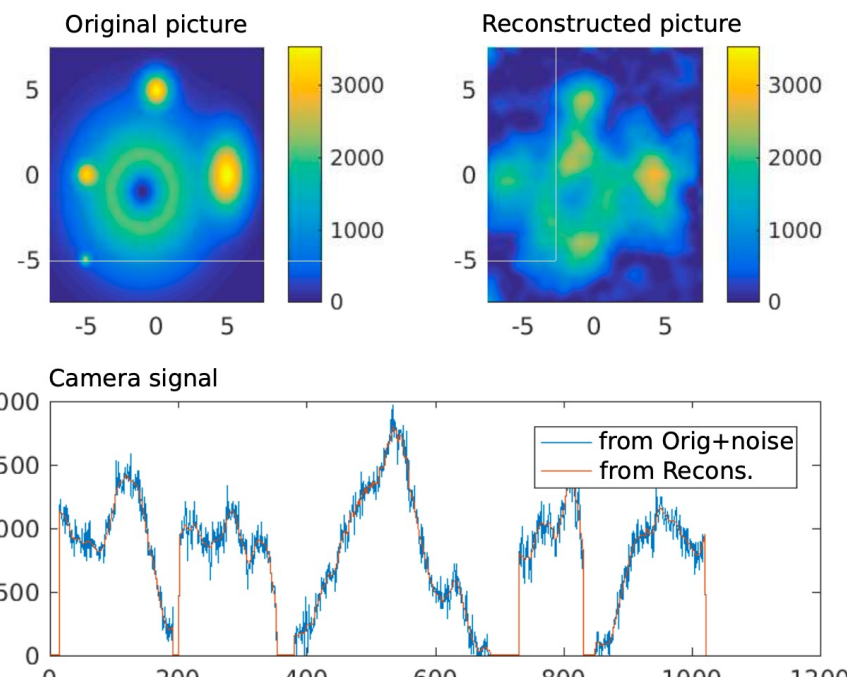
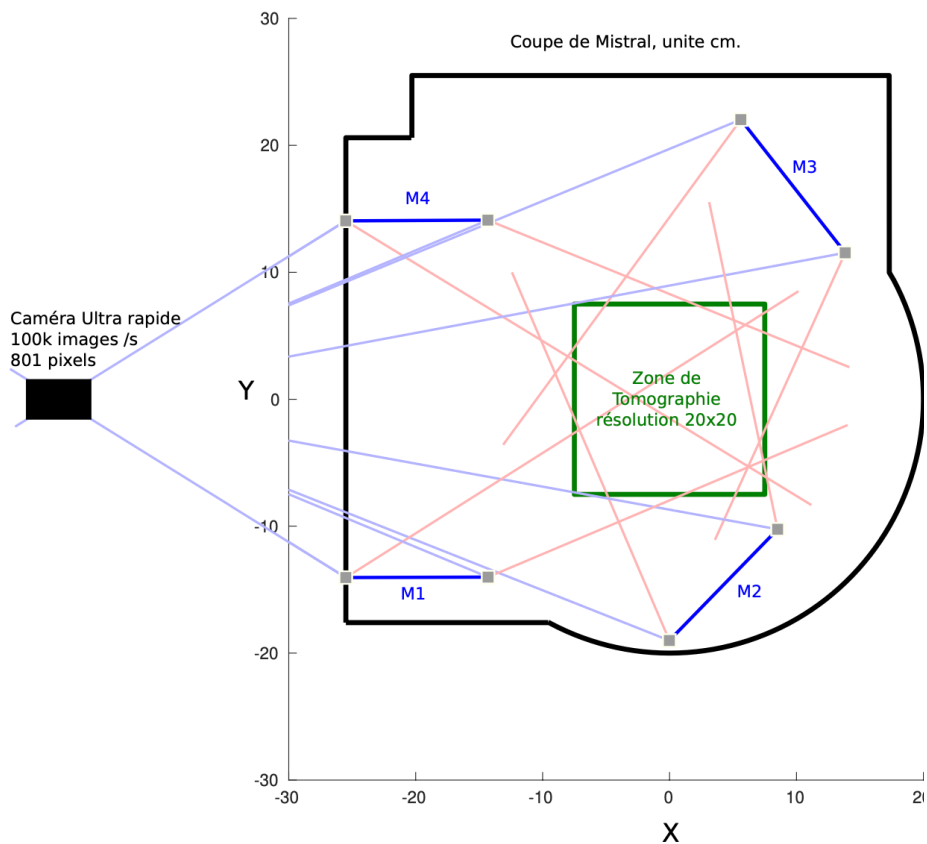
Local emissivity of an $m=1$ flute mode



Development of a spectro-tomography diagnostics



Development of tomography / spectro-tomography diagnostics



L'expérience MISTRAL

Avantages

- Contrôle facile du **diamètre** de la colonne par l'insertion d'un limiteur,
- Colonne de plasma de **grand volume homogène** (radial/axial),
- Source d'ionisation « **simple** » : alimentation continue 20 V 150 A.
- Dispositif expérimental « **sûre** » : pas de tension > 50 V.
- Fonctionnement **permanent** (limite : chauffage de la paroi de la source)
- **Pas d'onde !** → Bien pour les diagnostics de sonde !

Inconvénients

- Possibilité de réaliser une version plus petite à voir
- Utilisation d'une petite source transportable de type multipôle ?
- Présence permanente d'un **faisceau d'électrons primaires** : $E_{ep} = 40 \text{ eV}$, $T_{ep} = 16,5 \text{ eV}$
 - À considérer dans l'analyse des carac. de sondes !
 - Rôle important dans le rayonnement du plasma !
 - Ces é.p. jouent un rôle important dans la physique des instabilités observées !

Merci de votre attention